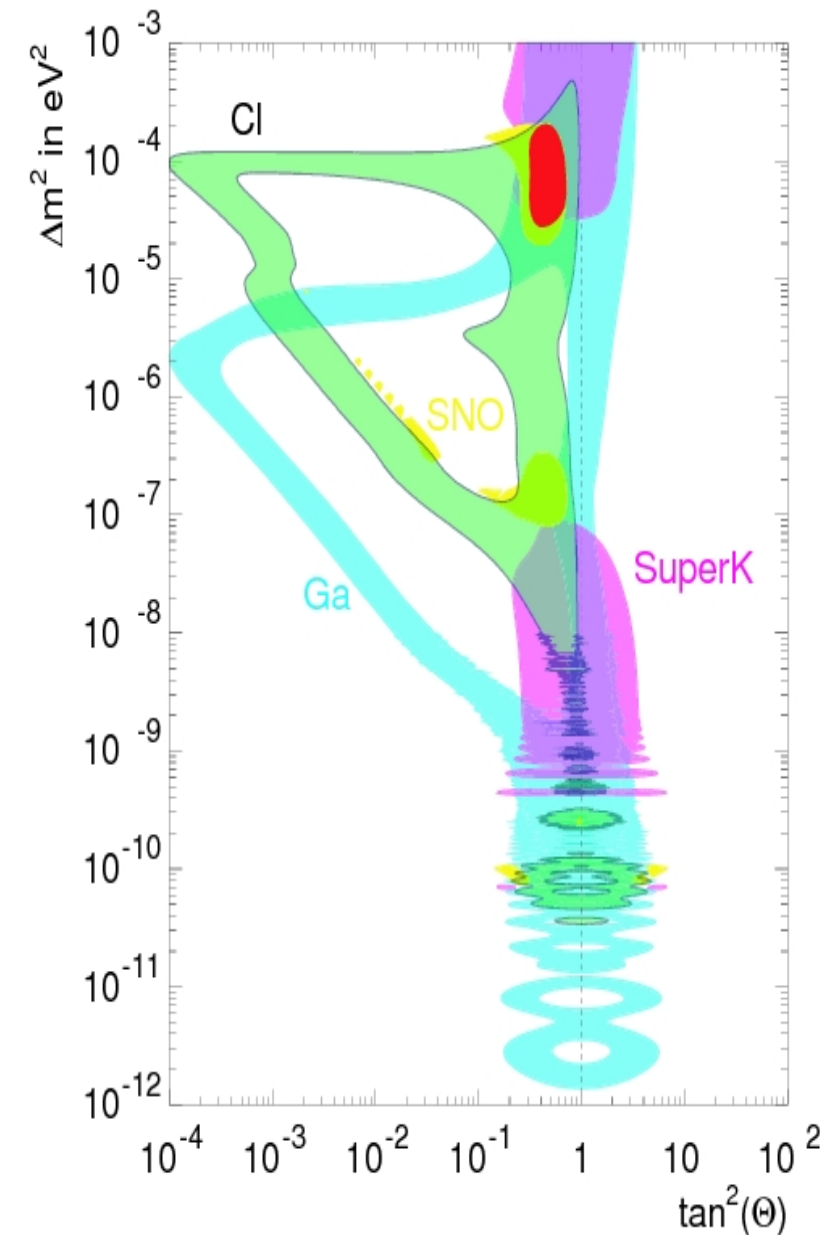


# 5. アイコナールCDCCとその 天体核反応への応用

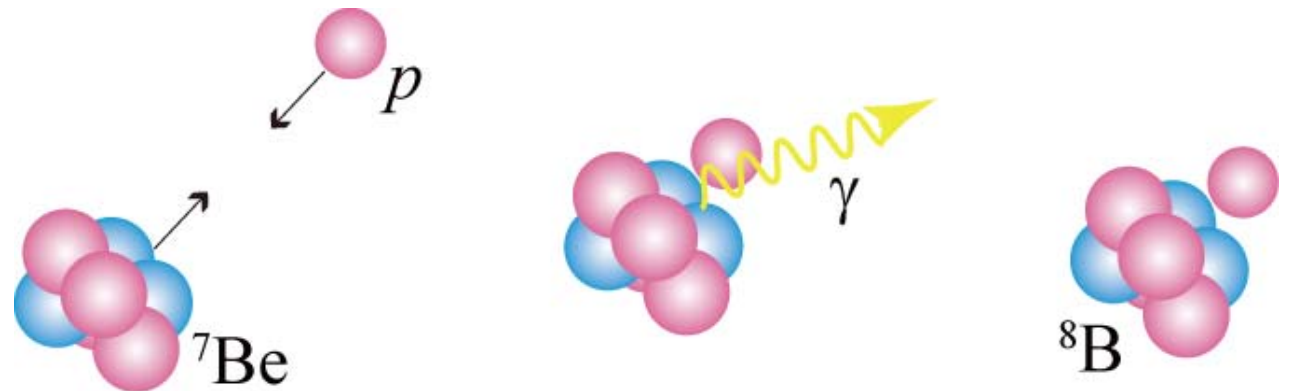
K. Ogata, S. Hashimoto, Y. Iseri, M. Kamimura, M. Yahiro,  
PRC73, 024605 (2006).

# 天体核物理学の重要課題: $S_{17}$ の精密決定



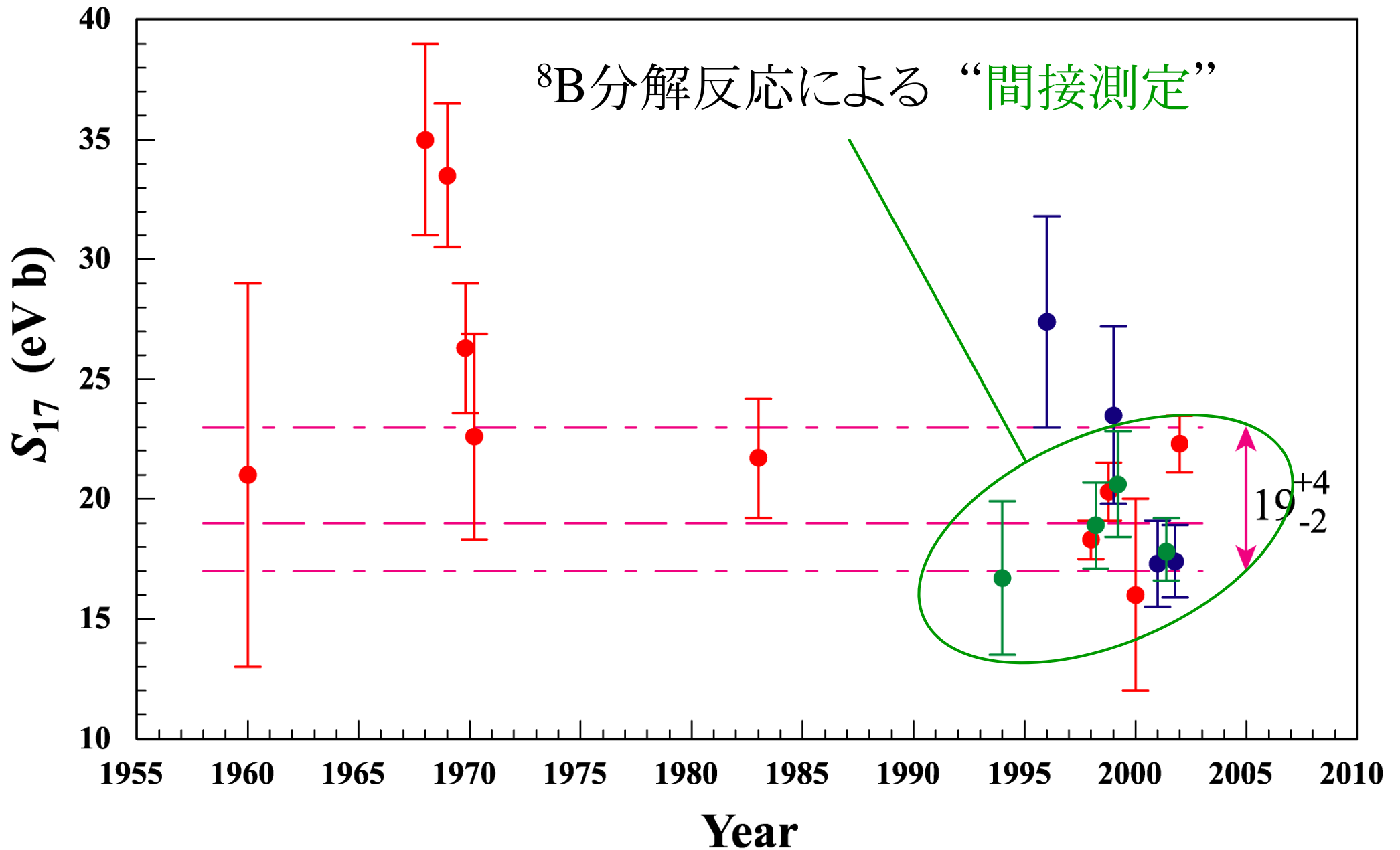
- $^8\text{B}$ 太陽ニュートリノは、ニュートリノ振動パラメータの重要な情報源。
- その流量は、 $^7\text{Be}(p,\gamma)^8\text{B}$ の天体核物理因子  $S_{17}$  に比例。

$$S_{17}(E) = \sigma_{p\gamma} E \exp(2\pi\eta)$$

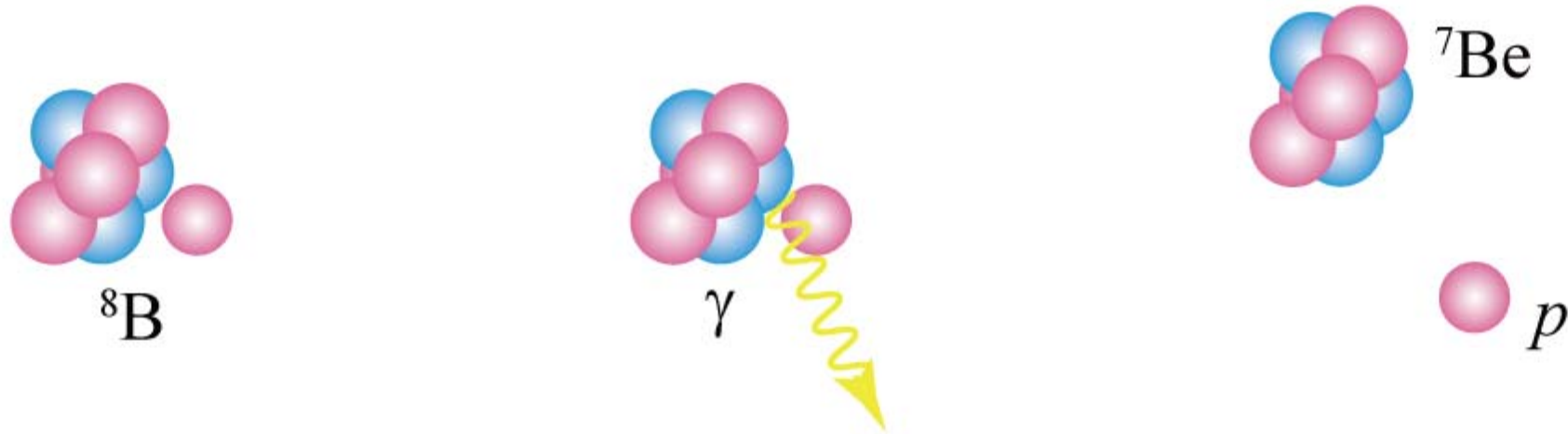


要請:  $S_{17}(0)$ を誤差5%以下で決定せよ。

# $S_{17}$ の年表

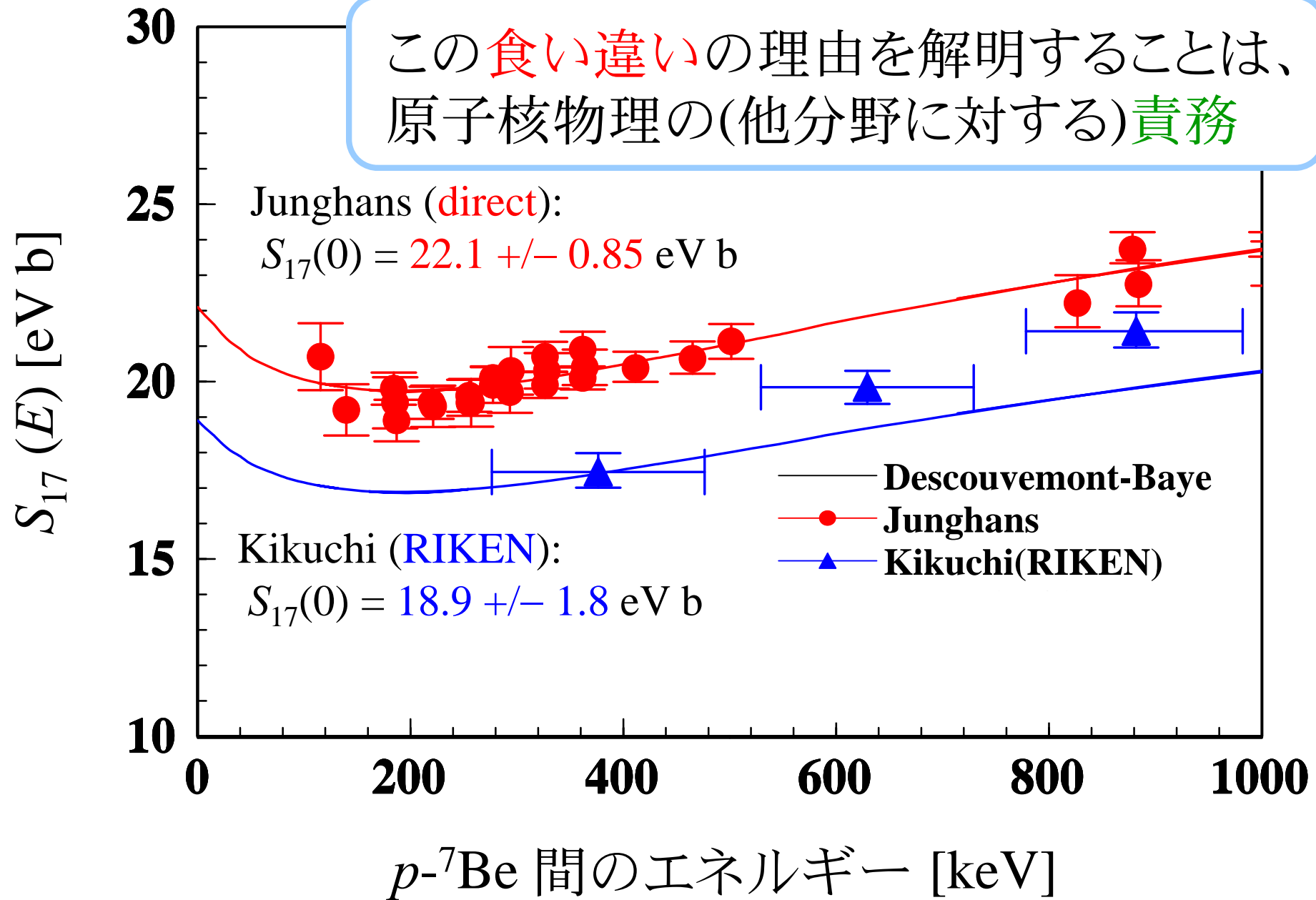


# ${}^7\text{Be}(p,\gamma){}^8\text{B}$ の間接測定

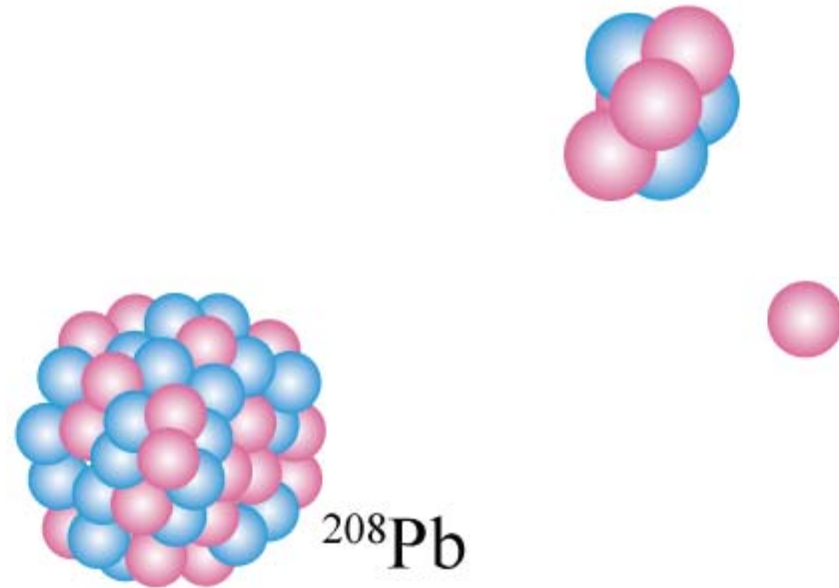


- 微細平衡の原理を利用すれば、 ${}^8\text{B}$ 分解反応を測定することで、逆反応である ${}^7\text{Be}(p,\gamma){}^8\text{B}$ の断面積を間接的に決定できる。
- この間接測定の結果は、**仮定した反応機構が正しいときに限り、**正確である。

# ${}^7\text{Be}(p,\gamma){}^8\text{B}$ 天体核物理因子 $S_{17}$ の“測定”結果



# 実際の分解反応のメカニズム

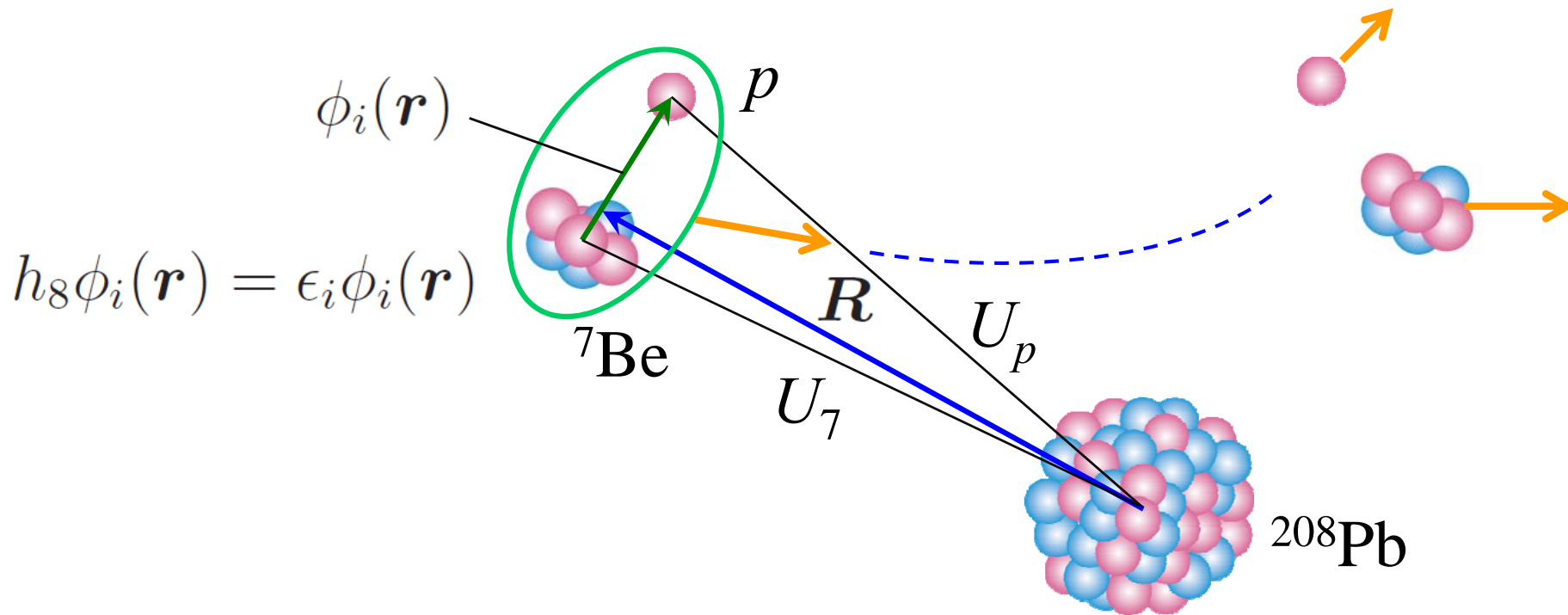


間接測定を妨害する要因

- 核力(強い相互作用)による分解
- 多段階の分解過程(チャネル結合効果)
- E1以外の多重極光子による分解

正確な反応モデルによる分解反応の記述が不可欠!

# アイコンナールCDCC (E-CDCC)



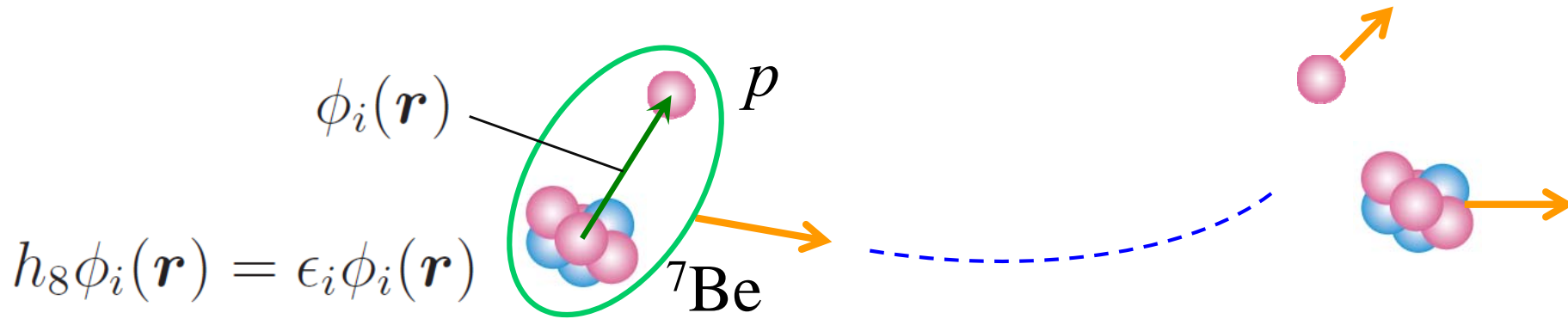
$$[T_{\mathbf{R}} + U_p(|\mathbf{R} + 7\mathbf{r}/8|) + U_7(|\mathbf{R} - \mathbf{r}/8|) + h_8 - E] \Psi(\mathbf{R}, \mathbf{r}) = 0$$

$$\Psi(\mathbf{R}, \mathbf{r}) = \sum_{i=0}^n \psi_i(b, z) \frac{1}{(2\pi)^{3/2}} e^{iK_i z} \phi_i(\mathbf{r})$$

$$K_i = \sqrt{2m_{\text{P}} E_i / \hbar}, \quad E_i = E - \epsilon_i$$

※ $1/R$  のクーロン力の  
影響は表記から省略。

# 反応解析の目的



- $p+{}^7\text{Be}$ の低エネルギー分解状態

部分平面波(正確にはクーロン入りの波)とみなせる。

- ${}^8\text{B}$ の基底状態

低エネルギーへの分解断面積に寄与するのは波動関数のテイル( $p$ と ${}^7\text{Be}$ が十分離れた領域)のみ。関数形は既知。ただしその振幅は不明。

テイルの振幅  $C$  (漸近係数)を反応解析によって決める。



# E-CDCC方程式

$$[T_{\mathbf{R}} + U_p(|\mathbf{R} + 7\mathbf{r}/8|) + U_7(|\mathbf{R} - \mathbf{r}/8|) + h_8 - E] \Psi(\mathbf{R}, \mathbf{r}) = 0$$

左から  $\phi_j^*(\mathbf{r})$  を掛けて  $\mathbf{r}$  で積分し、 $\nabla_{\mathbf{R}}^2 \psi_i(b, z) \approx 0$  とすると

$$i\hbar v_j \frac{\partial}{\partial z} \psi_j(b, z) = \sum_{i=0}^n F_{ji}(b, z) \psi_i(b, z) e^{i(K_i - K_j)z}$$

$$F_{ji}(b, z) = \langle \phi_j(\mathbf{r}) | U_p(|\mathbf{R} + 7\mathbf{r}/8|) + U_7(|\mathbf{R} - \mathbf{r}/8|) | \phi_i(\mathbf{r}) \rangle_{\mathbf{r}}$$

$$v_i = \hbar K_i / m_P$$

散乱の初期条件  $\lim_{z \rightarrow -\infty} \Psi(\mathbf{R}, \mathbf{r}) = \frac{1}{(2\pi)^{3/2}} e^{iK_0 z} \phi_0(\mathbf{r})$  を満たす解は、

反復法等によって求めることが可能。

# 取り入れられている自由度は？

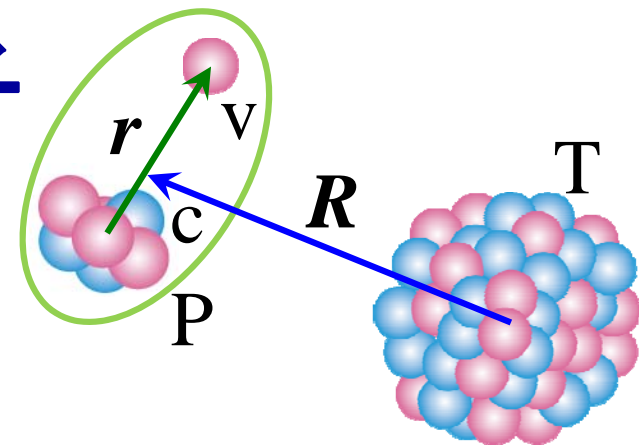
$$i\hbar v_j \frac{\partial}{\partial z} \psi_j(b, z) = \sum_{i=0}^n F_{ji}(b, z) \psi_i(b, z) e^{i(K_i - K_j)z}$$

$$F_{ji}(b, z) = \langle \phi_j(\mathbf{r}) | U_p(|\mathbf{R} + 7\mathbf{r}/8|) + U_7(|\mathbf{R} - \mathbf{r}/8|) | \phi_i(\mathbf{r}) \rangle_{\mathbf{r}}$$

1. チャンネル結合計算なので、 $F_{ji}$  は無限次まで入っている。
2.  $U_p$  と  $U_7$  は、核力ポテンシャルとクーロンポテンシャルの和。  
よって核力とクーロン力は区別なく扱われている(干渉も入る)。
3. クーロンの多重極度は全て含まれる(核力も)。

※クーロン双極子遷移のみ取り入れ、摂動の1次で止めれば、  
先行研究の計算に対応する。

# クーロンの多重極子



点電荷分布

$$U_{v+c}^{\text{Coul}} = \frac{Z_v Z_T e^2}{|\mathbf{R} + A_c \mathbf{r} / A_P|} + \frac{Z_c Z_T e^2}{|\mathbf{R} - A_v \mathbf{r} / A_P|}$$

$$R > r \longrightarrow = Z_T e \sum_{\lambda} \left( \frac{(A_c r / A_P)^{\lambda} Z_v e}{R^{\lambda+1}} + \frac{(-A_v r / A_P)^{\lambda} Z_c e}{R^{\lambda+1}} \right) P_{\lambda}(\cos \theta_{Rr})$$

$$\begin{aligned} & \frac{Z_T e Z_P e}{R} = \boxed{Z_T e \frac{Z_v e + Z_c e}{R}} P_0(\cos \theta_{Rr}) \quad \text{[単極子]} \quad \text{PのE1有効電荷} \\ & + \frac{Z_T e \boxed{[(A_c / A_P) Z_v e - (A_v / A_P) Z_c e]} r}{\textcircled{R^2} \text{超ロングレンジ}} P_1(\cos \theta_{Rr}) \quad \text{[双極子]} \\ & + \frac{Z_T e \boxed{[(A_c / A_P)^2 Z_v e + (A_v / A_P)^2 Z_c e]} r^2}{R^3} P_2(\cos \theta_{Rr}) \quad \text{[4重極子]} \quad \text{PのE2有効電荷} \\ & + \dots \end{aligned}$$

PT重心間の  
クーロン力  
(分解なし)

# 分解反応の遷移行列

${}^8\text{B}$ の分解エネルギー( ${}^7\text{Be}-p$ 間のエネルギー)をある区間で束ねた状態が、波数ベクトル  $\mathbf{K}'_j$  で散乱される反応の断面積が観測されるものとする。

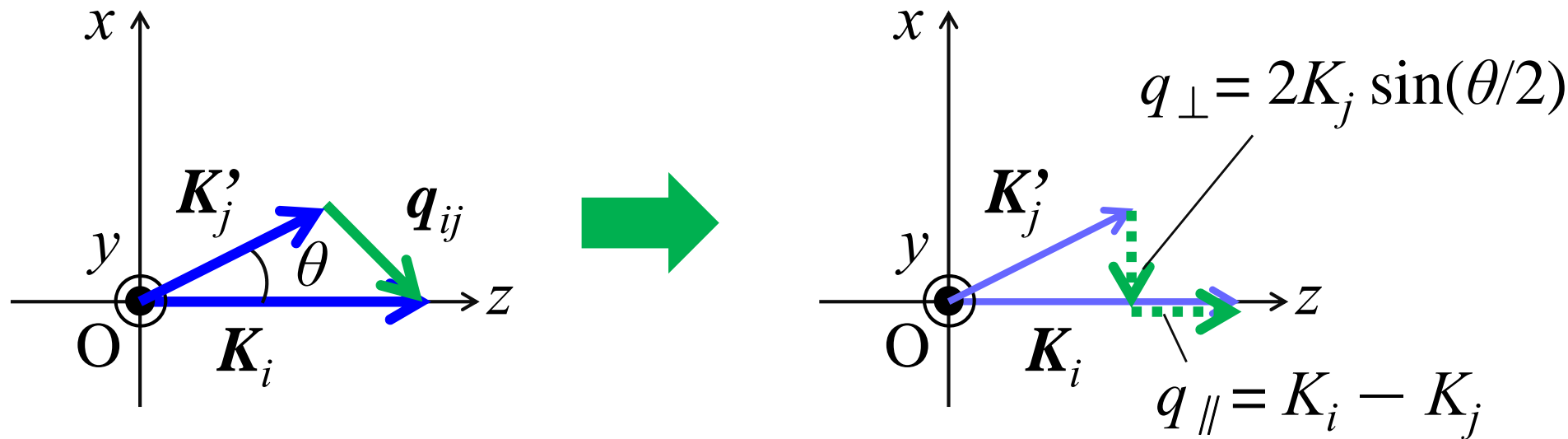
$$T_j = \left\langle \frac{1}{(2\pi)^{3/2}} e^{i\mathbf{K}'_j \cdot \mathbf{R}} \phi_j(\mathbf{r}) \left| U_p(|\mathbf{R} + 7\mathbf{r}/8|) + U_7(|\mathbf{R} - \mathbf{r}/8|) \right| \Psi(\mathbf{R}, \mathbf{r}) \right\rangle$$
$$= \frac{1}{(2\pi)^3} \int e^{-i\mathbf{K}'_j \cdot \mathbf{R}} \sum_{i=0}^n F_{ji}(b, z) \psi_i(b, z) e^{iK_i z} d\mathbf{R}$$

$$(\because F_{ji}(b, z) = \langle \phi_j(\mathbf{r}) | U_p(|\mathbf{R} + 7\mathbf{r}/8|) + U_7(|\mathbf{R} - \mathbf{r}/8|) | \phi_i(\mathbf{r}) \rangle_{\mathbf{r}} )$$

# 移行運動量

$$e^{-i\mathbf{K}'_j \cdot \mathbf{R}} e^{i\mathbf{K}_i z} = e^{i(\mathbf{K}_i - \mathbf{K}'_j) \cdot \mathbf{R}} \equiv e^{i\mathbf{q}_{ij} \cdot \mathbf{R}}$$

前方散乱近似を適用すると、 $\mathbf{q}_{ij}$  の垂直成分と平行成分は、下図のようになる。



よって、 $\mathbf{q}_{ij}$  と  $\mathbf{R}$  の内積は、

$$\mathbf{q}_{ij} \cdot \mathbf{R} = -2K_j \sin(\theta/2) b \cos \phi_R + (K_i - K_j) z$$

# 分解反応の遷移行列(つづき)

$$T_j = \frac{1}{(2\pi)^3} \int e^{-i2bK_j \sin(\theta/2) \cos \phi_R} \sum_{i=0}^n F_{ji}(b, z) \psi_i(b, z) e^{i(K_i - K_j)z} dz b db d\phi_R$$

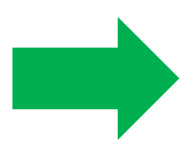
$\sim bK_j\theta$

$$= i\hbar v_j \frac{\partial}{\partial z} \psi_j(b, z)$$

$$T_j = \frac{1}{(2\pi)^3} \int e^{-ibK_j\theta \cos \phi_R} i\hbar v_j [\psi_j(b, z)]_{z=-\infty}^{z=\infty} b db d\phi_R$$

$$= \frac{i\hbar v_j}{(2\pi)^3} \int e^{-ibK_j\theta \cos \phi_R} [S_j(b) - \delta_{j0}] b db d\phi_R$$

$$= \frac{i\hbar^2 K_j}{(2\pi)^2 m_P} \int J_0(bK_j\theta) [S_j(b) - \delta_{j0}] b db$$

 分解断面積の角度分布

$$\because \int_0^{2\pi} e^{-ibK_j\theta \cos \phi_R} d\phi_R = 2\pi J_0(bK_j\theta)$$

# (純)量子力学計算との対応

遷移行列の積分要素

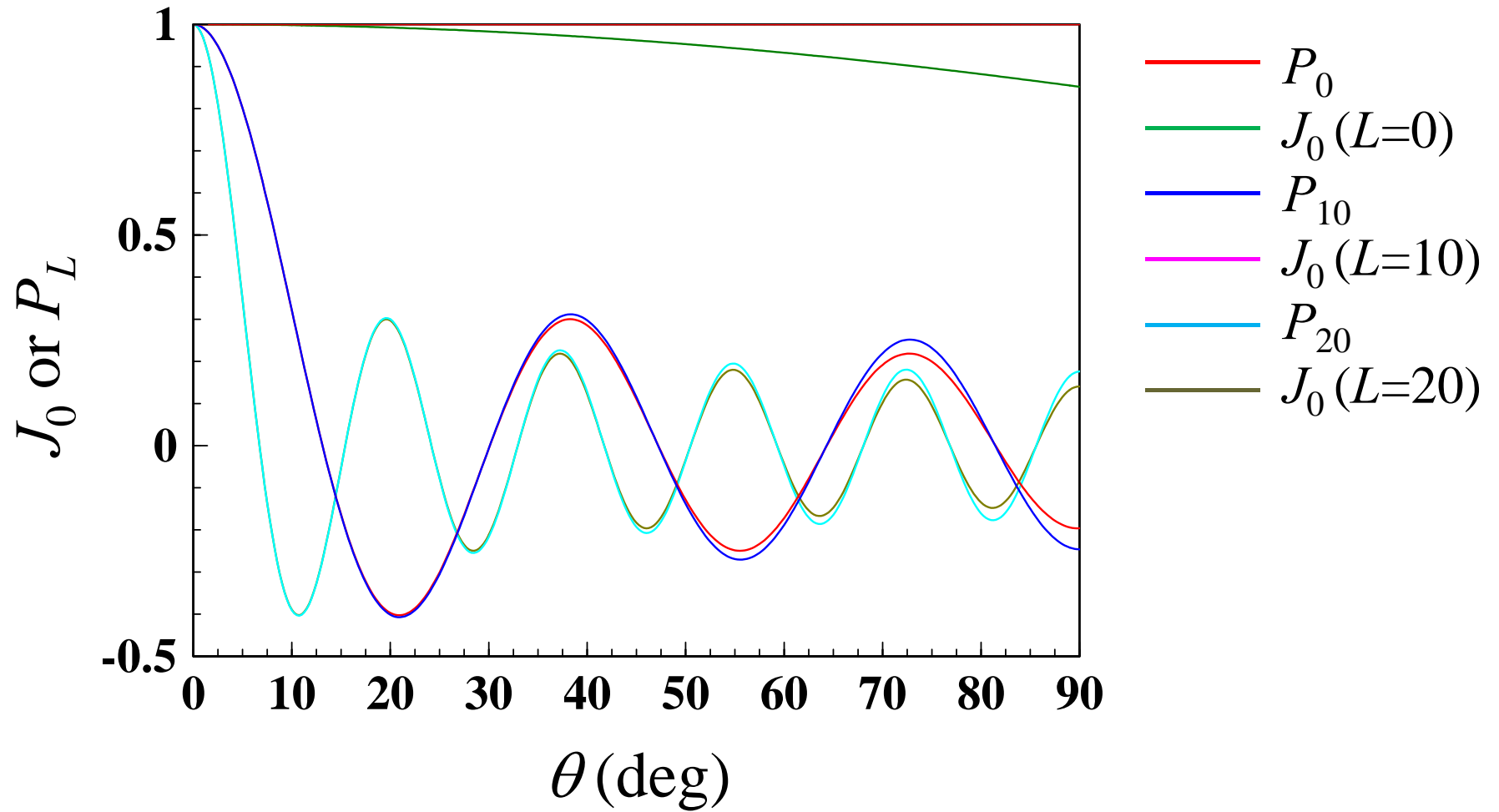
$$\begin{aligned} I &\equiv K_j \int J_0(bK_j\theta) [S_j(b) - \delta_{j0}] b db \\ &= K_j \sum_L \int_{L/K_j}^{(L+1)/K_j} J_0(bK_j\theta) [S_j(b) - \delta_{j0}] b db \\ &\approx K_j \sum_L \underbrace{J_0\left(\left(2L+1\right)\frac{\theta}{2}\right)}_{\approx P_L(\cos\theta)} [S_j^{(L)} - \delta_{j0}] \underbrace{\int_{L/K_j}^{(L+1)/K_j} b db}_{= \frac{2L+1}{2K_j^2}} \end{aligned}$$

$K_j b = L + 1/2$  とすることで、量子力学的な表式が得られる。

$$I \approx \frac{1}{2K_j} \sum_L (2L+1) [S_j^{(L)} - \delta_{j0}] P_L(\cos\theta)$$

※小さい  $L$  の  $S$  行列のみ量子力学的に計算すれば、より正確。

# ルジャンドル関数とベッセル関数

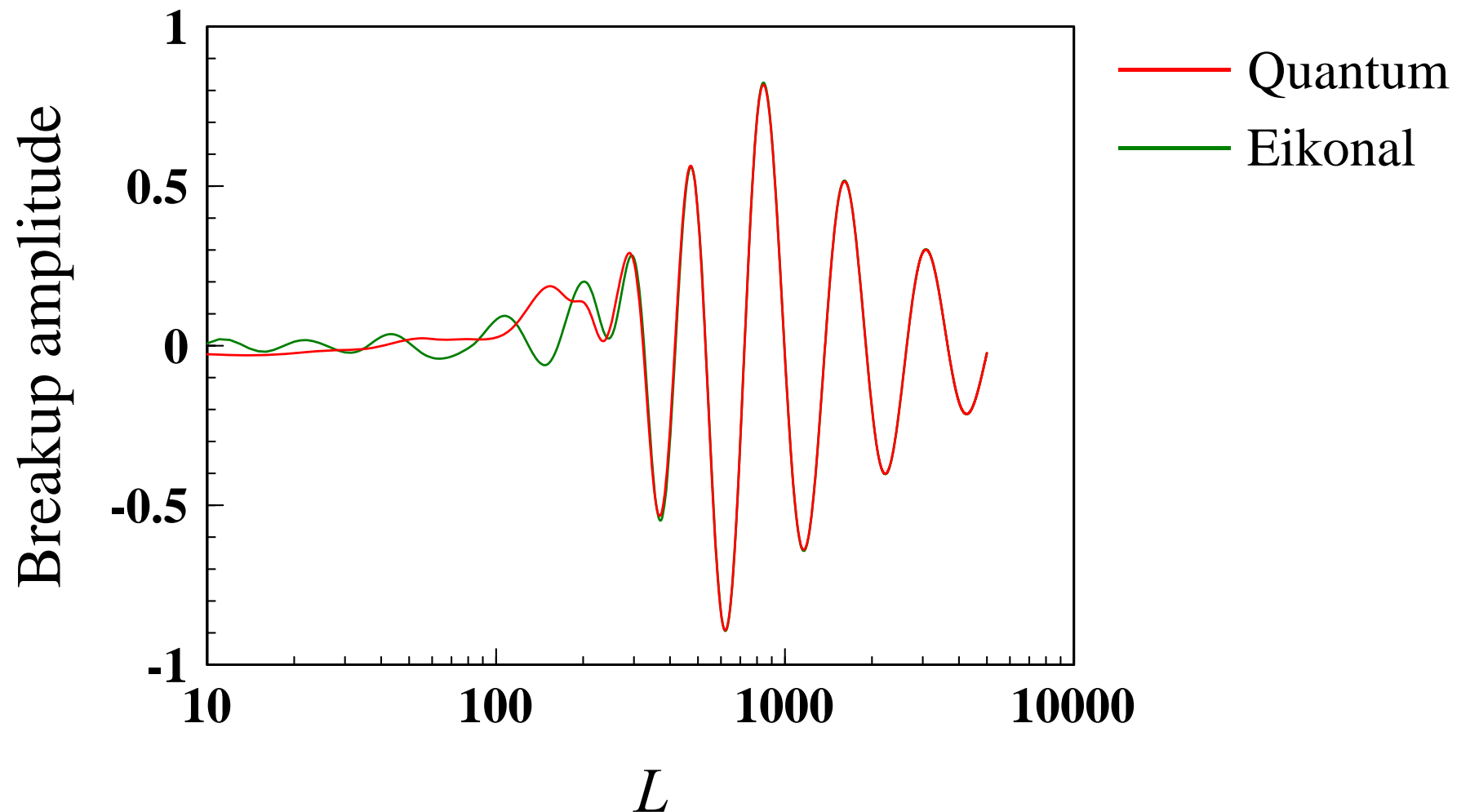


- 散乱振幅の角度依存性は、 $J_0(bK\theta)$  でほぼ表現できている。
- 前方散乱近似をやめると、余分な(強すぎる)角度依存性が出る。

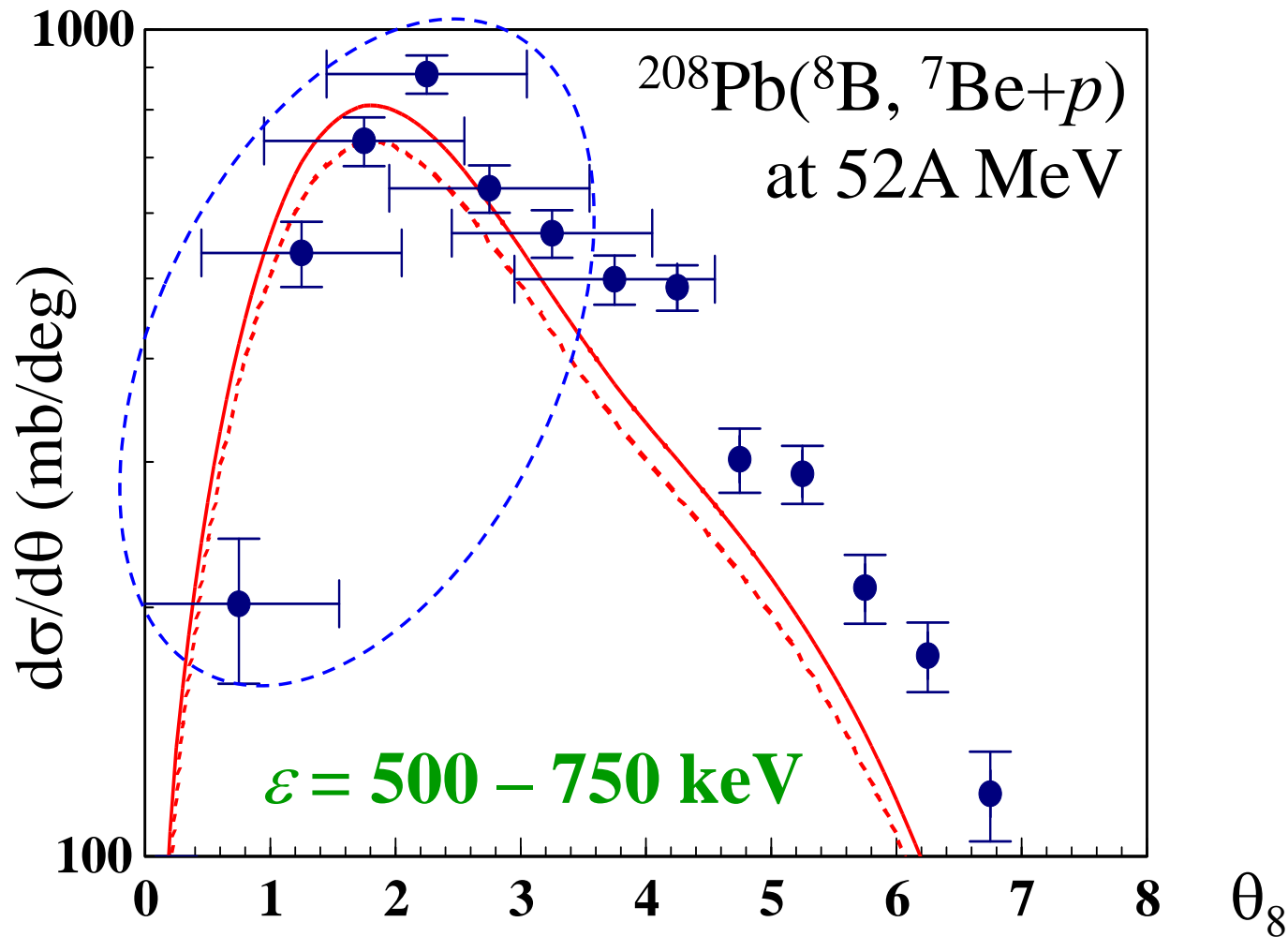


# 量子力学計算との対応(分解反応)

$^{208}\text{Pb}$ による  $^8\text{B}$ 分解反応(at 核子あたり 250 MeV)の遷移振幅(実部)

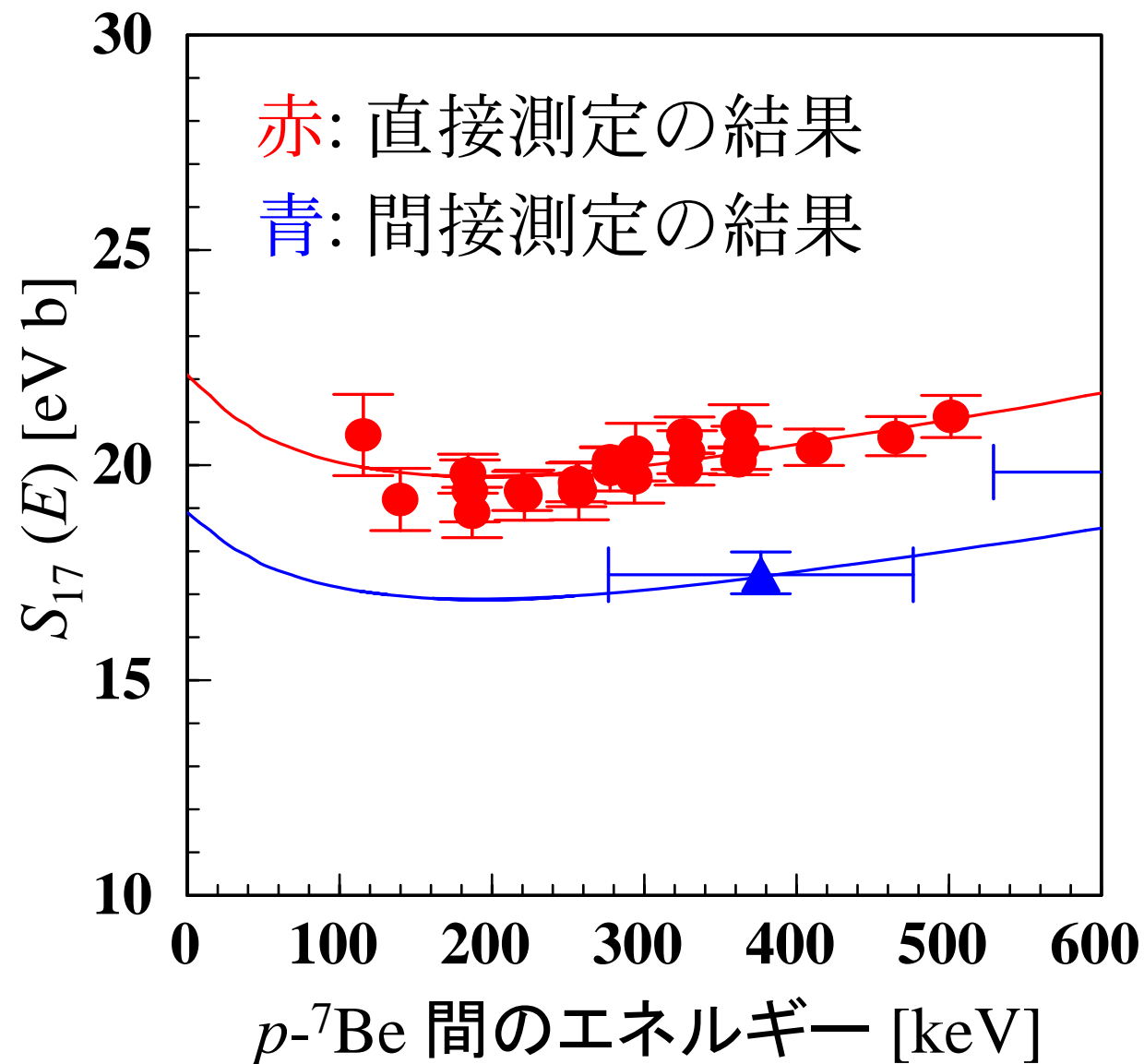


# $^8\text{B}$ 分解断面積の角分布



実験値と理論計算値の“比”から、 $^8\text{B}$ 波動関数の漸近係数  $C$  を得ることができる。 $C$  が得られれば、 $S_{17}(E)$  が描ける。

# ${}^7\text{Be}(p,\gamma){}^8\text{B}$ 天体核物理因子 $S_{17}$



以前の結果

直接測定:

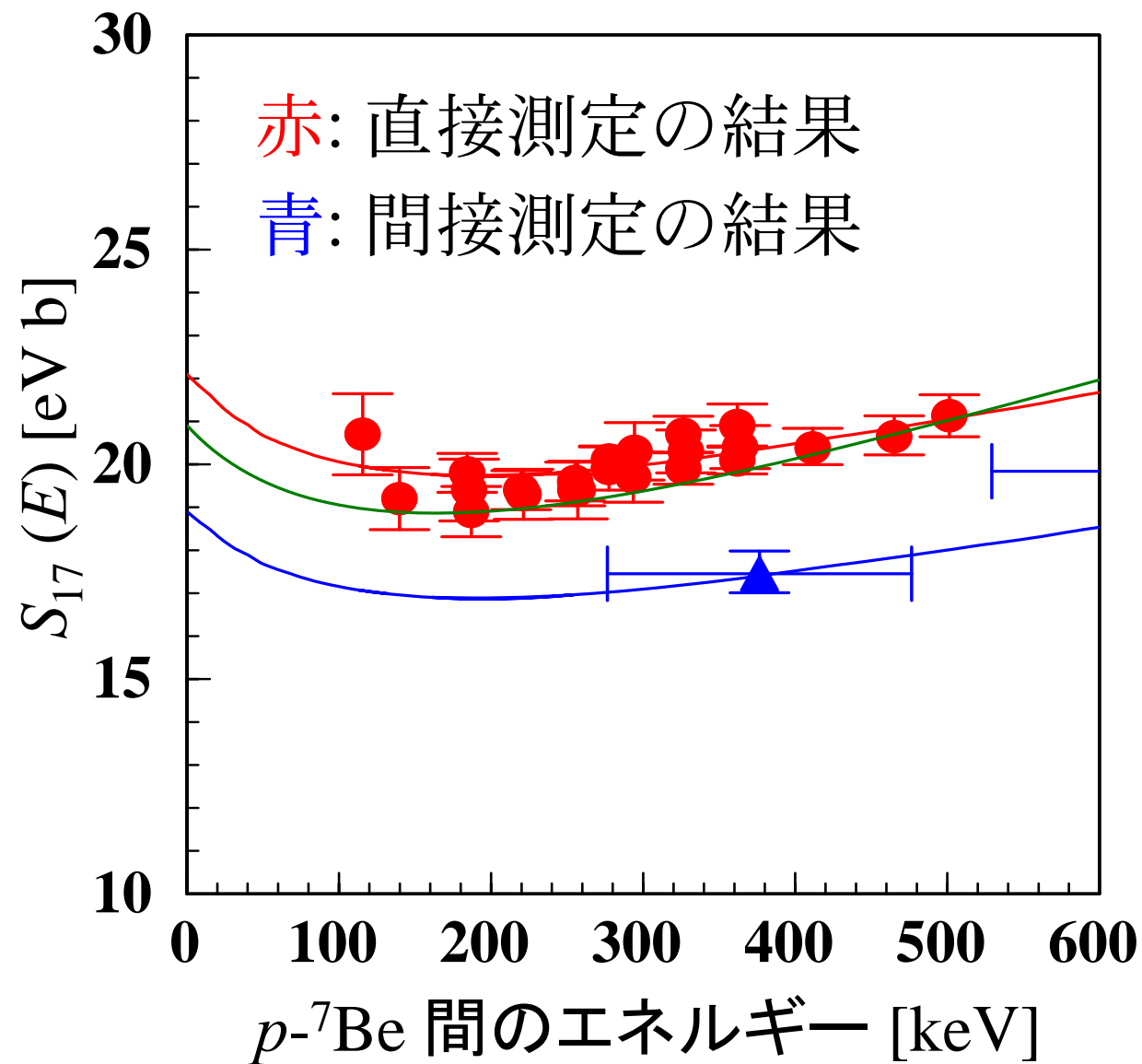
$$S_{17}(0) = 22.1 \pm 0.85 \text{ eV b}$$

間接測定:

$$S_{17}(0) = 18.9 \pm 1.8 \text{ eV b}$$

今回の解析結果

# ${}^7\text{Be}(p,\gamma){}^8\text{B}$ 天体核物理因子 $S_{17}$



— 以前の結果 —

直接測定:

$$S_{17}(0) = 22.1 \pm 0.85 \text{ eV b}$$

間接測定:

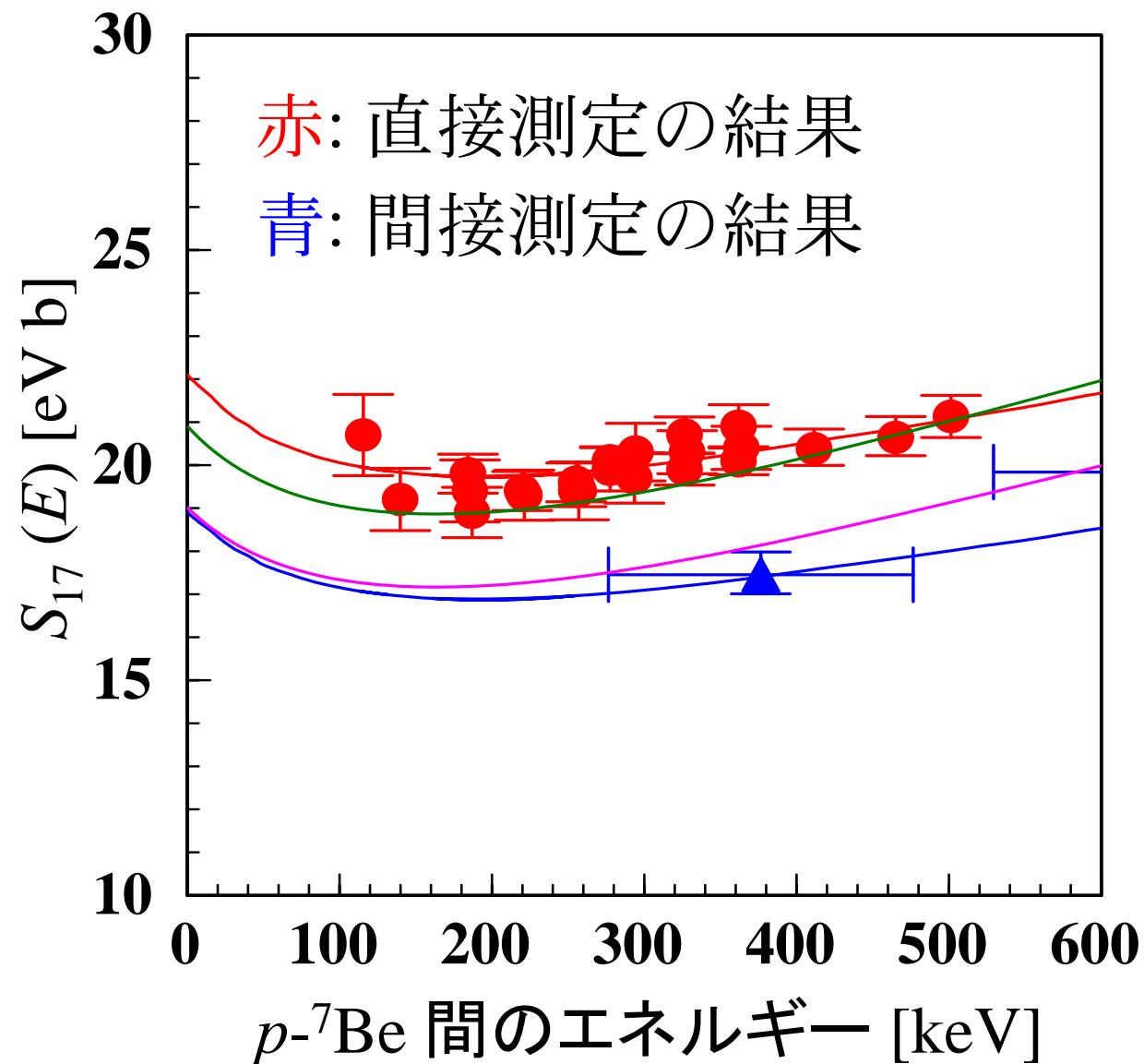
$$S_{17}(0) = 18.9 \pm 1.8 \text{ eV b}$$

— 今回の解析結果 —

“完全”計算:

$$S_{17}(0) = 20.9^{+2.0}_{-1.9} \text{ eV b}$$

# ${}^7\text{Be}(p,\gamma){}^8\text{B}$ 天体核物理因子 $S_{17}$



— 以前の結果

直接測定: updated

$$S_{17}(0) = 20.9 \pm 0.92 \text{ eV b}$$

間接測定:

$$S_{17}(0) = 18.9 \pm 1.8 \text{ eV b}$$

— 今回の解析結果

“完全”計算:

$$S_{17}(0) = 20.9^{+2.0}_{-1.9} \text{ eV b}$$

間接測定(簡易計算):

$$S_{17}(0) = 19.0^{+1.9}_{-1.7} \text{ eV b}$$

間接測定法は、正確な反応理論と組み合わせれば機能する。

# E-CDCCとその天体核反応への応用のまとめ

- 天体核物理学上の重大な課題である  $S_{17}$ 問題を紹介した。
- 不安定核 ${}^8\text{B}$ の分解反応を、 ${}^7\text{Be}+p$ +標的核の3体反応模型に基づいて記述した。
- CDCCとアイコナール近似を組み合わせたアイコナールCDCC (E-CDCC)を紹介した。
- E-CDCCに対する量子力学的補正は最小の手間で実行可能。
- 反応解析により、 $S_{17}$ 問題を解決することに成功した。